

# Analyse des trajectoires d'équilibre d'un convertisseur pour réseau mixte AC/DC maillé

Lukas CAFRAN<sup>1</sup>, Jean-François TRÉGOUËT<sup>1</sup>, Tanguy SIMON<sup>2</sup>, Jean-Yves GAUTHIER<sup>1</sup>, Xuefang LIN-SHI<sup>1</sup>, Roman LE GOFF LATIMIER<sup>3</sup>, Hamid BEN AHMED<sup>3</sup>, Gurvan JODIN<sup>3</sup>

1. Laboratoire Ampère, Lyon, France

2. Laboratoire LAGEPP, Lyon, France

3. SATIE, Ker Lann, France

31/05/2024

Introduction

Modélisation

Un ensemble de solution au problème

Conclusion & Perspectives

Introduction

Modélisation

Un ensemble de solution au problème

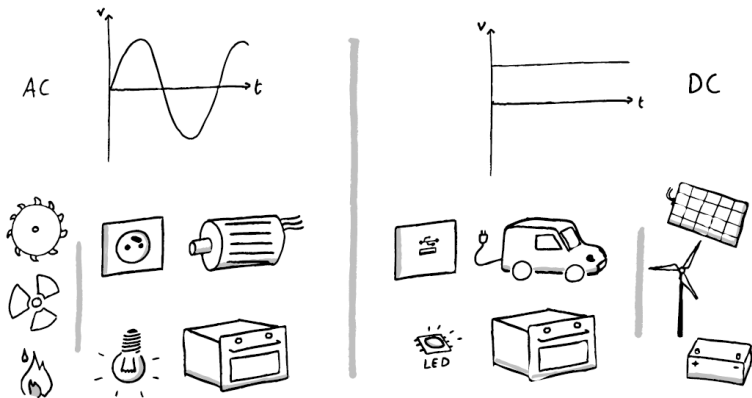
Conclusion & Perspectives

# Vers les réseaux DC

## ► Introduction des énergies renouvelables

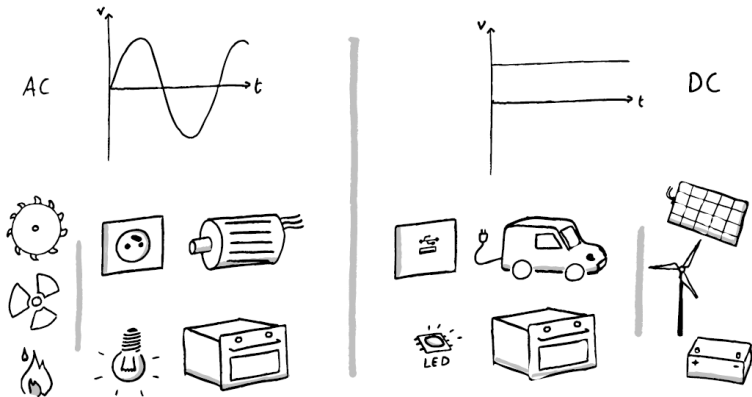
► Le DC est de plus en plus prisé au regard des charges et sources

► Interopérabilité entre les différentes générations de réseaux



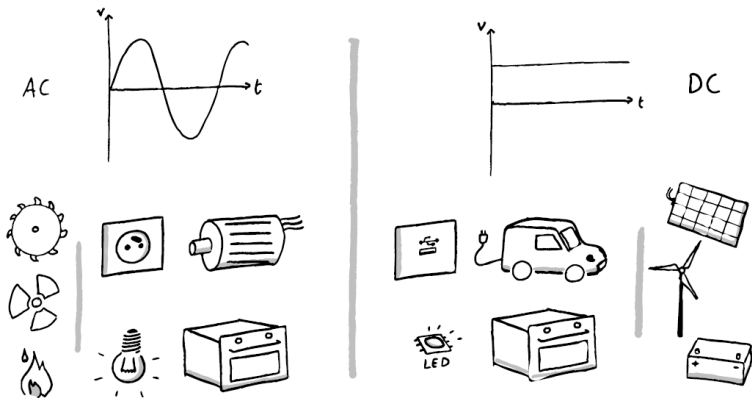
# Vers les réseaux DC

- ▶ Introduction des énergies renouvelables
- ▶ Le DC est de plus en plus prisé au regard des charges et sources
- ▶ Interopérabilité entre les différentes générations de réseaux



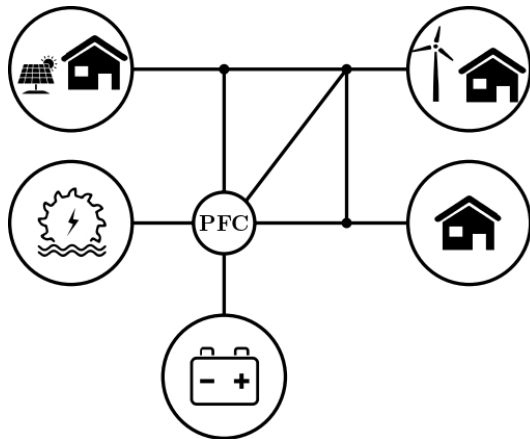
# Vers les réseaux DC

- ▶ Introduction des énergies renouvelables
- ▶ Le DC est de plus en plus prisé au regard des charges et sources
- ▶ Interopérabilité entre les différentes générations de réseaux



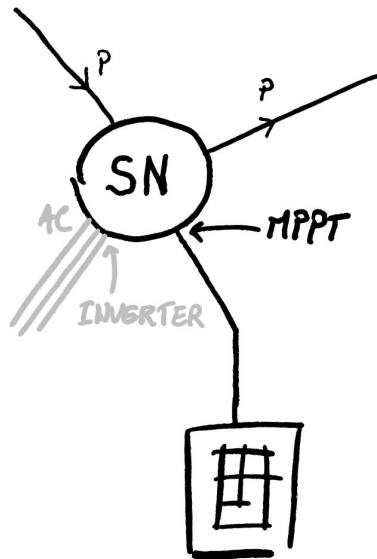
# Vers les réseaux maillés

Le maillage des réseaux offre plus de résilience et de flexibilité



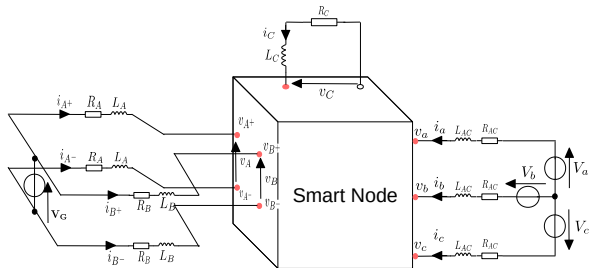
# Des noeuds intelligents

Des noeuds intelligents (smart node, SN) pour gérer les flux et les contraintes sur le réseau

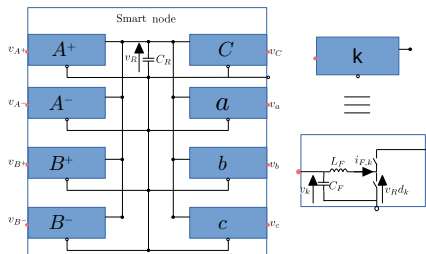


\* MMPT : une fonctionnalité envisagée pour le SN

# Un cas d'étude simplifié



(a) Le Smart Node dans le réseau mixte AC/DC



(b) Le Smart Node

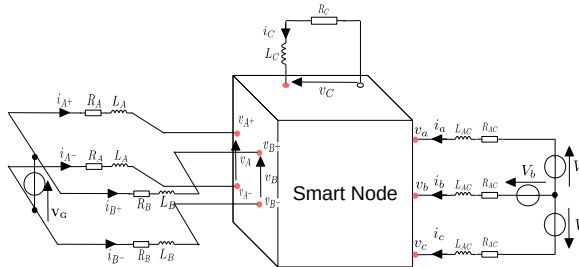
Introduction

**Modélisation**

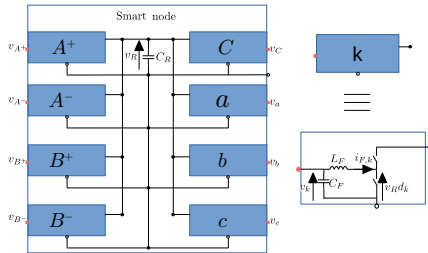
Un ensemble de solution au problème

Conclusion & Perspectives

# Modèle d'état dynamique



(a) Le Smart Node dans le réseau mixte AC/DC



(b) Le Smart Node

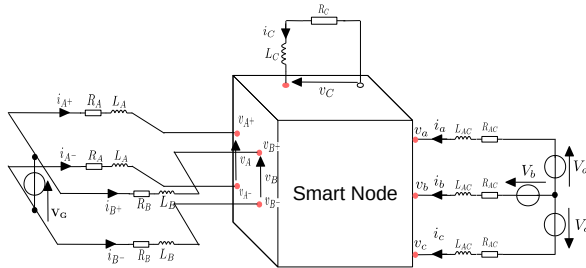
$$\dot{x}(t) = Ax(t) + B(x(t))u(t) + Pw(t) \quad (1)$$

Les vecteurs  $i_F(t) \in \mathbb{R}^8$  et  $v(t) \in \mathbb{R}^8$  rassemblent les courants et les tensions des filtres LC du smart node et  $i_G(t) = [i_C(t) \ i_{A^+}(t) \ i_{A^-}(t) \ i_{B^+}(t) \ i_a(t) \ i_b(t)]^T$ .

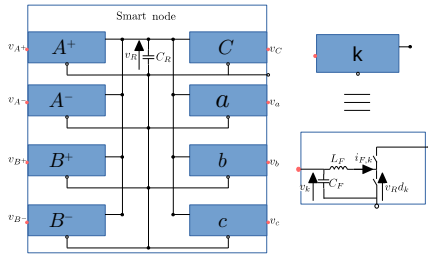
$$\mathbb{R}^{23} \ni x(t) = [v_R(t) \ i_F(t)^T \ v(t)^T \ i_G(t)^T]^T$$

$$\mathbb{R}^8 \ni u(t) = [d_C(t) \ d_{A^+}(t) \ d_{A^-}(t) \ d_{B^+}(t) \ d_{B^-}(t) \ d_a(t) \ d_b(t) \ d_c(t)]^T$$

# Modèle d'état dynamique



(a) Le Smart Node dans le réseau mixte AC/DC



(b) Le Smart Node

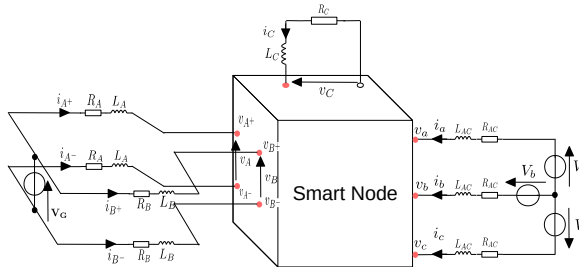
$$\dot{x}(t) = Ax(t) + B(x(t))u(t) + Pw(t) \quad (1)$$

Les vecteurs  $i_F(t) \in \mathbb{R}^8$  et  $v(t) \in \mathbb{R}^8$  rassemblent les courants et les tensions des filtres LC du smart node et  $i_G(t) = [i_c(t) \ i_{A+}(t) \ i_{A-}(t) \ i_{B+}(t) \ i_a(t) \ i_b(t)]^T$ .

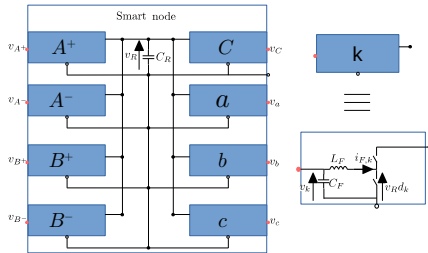
$$\mathbb{R}^{23} \ni x(t) = [v_R(t) \ i_F(t)^T \ v(t)^T \ i_G(t)^T]^T$$

$$\mathbb{R}^8 \ni u(t) = [d_C(t) \ d_{A+}(t) \ d_{A-}(t) \ d_{B+}(t) \ d_{B-}(t) \ d_a(t) \ d_b(t) \ d_c(t)]^T$$

# Modèle d'état dynamique



(a) Le Smart Node dans le réseau mixte AC/DC



(b) Le Smart Node

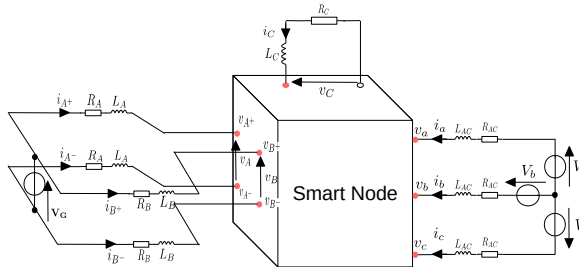
$$\dot{x}(t) = Ax(t) + B(x(t))u(t) + Pw(t) \quad (1)$$

Les vecteurs  $i_F(t) \in \mathbb{R}^8$  et  $v(t) \in \mathbb{R}^8$  rassemblent les courants et les tensions des filtres LC du smart node et  $i_G(t) = [i_c(t) \ i_{A^+}(t) \ i_{A^-}(t) \ i_{B^+}(t) \ i_a(t) \ i_b(t)]^T$ .

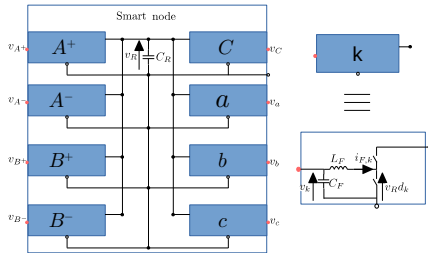
$$\mathbb{R}^{23} \ni x(t) = [v_R(t) \ i_F(t)^T \ v(t)^T \ i_G(t)^T]^T$$

$$\mathbb{R}^8 \ni u(t) = [d_C(t) \ d_{A^+}(t) \ d_{A^-}(t) \ d_{B^+}(t) \ d_{B^-}(t) \ d_a(t) \ d_b(t) \ d_c(t)]^T$$

# Modèle d'état dynamique



(a) Le Smart Node dans le réseau mixte AC/DC



(b) Le Smart Node

$$\dot{x}(t) = Ax(t) + B(x(t))u(t) + Pw(t)$$

$$\mathbb{R}^{23} \ni x(t) = [v_R(t) \ i_F(t)^T \ v(t)^T \ i_G(t)^T]^T$$

$$\mathbb{R}^8 \ni u(t) = [d_C(t) \ d_{A^+}(t) \ d_{A^-}(t) \ d_{B^+}(t) \ d_{B^-}(t) \ d_a(t) \ d_b(t) \ d_c(t)]^T$$

$$\mathbb{R}^8 \ni w(t) = [V_G \ v_R^r \ i_C^r \ i_A^r \ V_\alpha(t) \ V_\beta(t) \ i_\alpha^r(t) \ i_\beta^r(t)]^T$$

On modélise le système de tension AC équilibré dans le repère de Clarke.

$$\mathbb{R}^7 \ni \mathbf{e}(t) = \begin{bmatrix} v_R(t) - v_R^r & i_C(t) - i_C^r & i_{A+}(t) - i_A^r \\ i_{A+}(t) - i_{A-}(t) & i_a(t) - i_\alpha^r(t) & i_b(t) + \frac{1}{2}i_\alpha^r(t) - \frac{\sqrt{3}}{2}i_\beta^r(t) & i_{B+}(t) \end{bmatrix}^\top$$

- ▶ réguler le bus DC interne au SN (c.-à-d. la tension aux bornes du condensateur  $C_R$ ) à une tension constante  $v_R^r$ ;
- ▶ fournir des courants : constant  $i_C^r$  à la charge, constant  $i_A^r$  par la ligne A, sinusoïdale  $i_\alpha^r(t)$  et  $i_\beta^r(t)$  pour la partie AC (on utilise ici la transformé de Clarke);
- ▶ imposer l'égalité entre les courants aller et retour dans chaque ligne, c.-à-d.  $i_{A-} = -i_{A+}, i_{B-} = -i_{B+}$ ;
- ▶ assurer que le courant dans la ligne B est constant dans le temps à l'équilibre.

La référence sur  $i_{B+}$  n'est pas explicitée car elle est physiquement imposée par le bilan de puissance au niveau du condensateur  $C_R$ .

$$\mathbb{R}^7 \ni \mathbf{e}(t) = \begin{bmatrix} v_R(t) - v_R^r & i_C(t) - i_C^r & i_{A+}(t) - i_A^r & i_{A+}(t) - i_{A-}(t) & i_a(t) - i_\alpha^r(t) & i_b(t) + \frac{1}{2}i_\alpha^r(t) - \frac{\sqrt{3}}{2}i_\beta^r(t) & i_{B+}(t) \end{bmatrix}^T$$

- ▶ réguler le bus DC interne au SN (c.-à-d. la tension aux bornes du condensateur  $C_R$ ) à une tension constante  $v_R^r$ ;
- ▶ fournir des courants : constant  $i_C^r$  à la charge, constant  $i_A^r$  par la ligne A, sinusoïdale  $i_\alpha^r(t)$  et  $i_\beta^r(t)$  pour la partie AC (on utilise ici la transformé de Clarke);
- ▶ imposer l'égalité entre les courants aller et retour dans chaque ligne, c.-à-d.  $i_{A-} = -i_{A+}, i_{B-} = -i_{B+}$ ;
- ▶ assurer que le courant dans la ligne B est constant dans le temps à l'équilibre.

La référence sur  $i_{B+}$  n'est pas explicitée car elle est physiquement imposée par le bilan de puissance au niveau du condensateur  $C_R$ .

$$\mathbb{R}^7 \ni \mathbf{e}(t) = \begin{bmatrix} v_R(t) - v_R^r & i_C(t) - i_C^r & i_{A+}(t) - i_A^r \\ i_{A+}(t) - i_{A-}(t) & i_a(t) - i_\alpha^r(t) & i_b(t) + \frac{1}{2}i_\alpha^r(t) - \frac{\sqrt{3}}{2}i_\beta^r(t) & i_{B+}(t) \end{bmatrix}^\top$$

- ▶ réguler le bus DC interne au SN (c.-à-d. la tension aux bornes du condensateur  $C_R$ ) à une tension constante  $v_R^r$ ;
- ▶ fournir des courants : constant  $i_C^r$  à la charge, constant  $i_A^r$  par la ligne A, sinusoïdale  $i_\alpha^r(t)$  et  $i_\beta^r(t)$  pour la partie AC (on utilise ici la transformé de Clarke);
- ▶ **imposer l'égalité entre les courants aller et retour dans chaque ligne, c.-à-d.**  
 $i_{A-} = -i_{A+}, i_{B-} = -i_{B+}$ ;
- ▶ assurer que le courant dans la ligne B est constant dans le temps à l'équilibre.

La référence sur  $i_{B+}$  n'est pas explicitée car elle est physiquement imposée par le bilan de puissance au niveau du condensateur  $C_R$ .

$$\mathbb{R}^7 \ni \mathbf{e}(t) = \begin{bmatrix} v_R(t) - v_R^r & i_C(t) - i_C^r & i_{A+}(t) - i_A^r \\ i_{A+}(t) - i_{A-}(t) & i_a(t) - i_\alpha^r(t) & i_b(t) + \frac{1}{2}i_\alpha^r(t) - \frac{\sqrt{3}}{2}i_\beta^r(t) & i_{B+}(t) \end{bmatrix}^\top$$

- ▶ réguler le bus DC interne au SN (c.-à-d. la tension aux bornes du condensateur  $C_R$ ) à une tension constante  $v_R^r$ ;
- ▶ fournir des courants : constant  $i_C^r$  à la charge, constant  $i_A^r$  par la ligne A, sinusoïdale  $i_\alpha^r(t)$  et  $i_\beta^r(t)$  pour la partie AC (on utilise ici la transformé de Clarke);
- ▶ imposer l'égalité entre les courants aller et retour dans chaque ligne, c.-à-d.  $i_{A-} = -i_{A+}, i_{B-} = -i_{B+}$ ;
- ▶ **assurer que le courant dans la ligne B est constant dans le temps à l'équilibre.**

La référence sur  $i_{B+}$  n'est pas explicitée car elle est physiquement imposée par le bilan de puissance au niveau du condensateur  $C_R$ .

## ► modèle bilinéaire

- régulation de sortie
- avec des perturbations et des consignes sinusoïdales

$$\dot{x}(t) = Ax(t) + B(x(t))u(t) + Pw(t)$$

$$\dot{w}(t) = Sw(t)$$

$$e(t) = Cx(t) + Qw(t)$$

$$\mathbb{R}^8 \ni w(t) = [V_{DC} \quad v_R^r \quad i_C^r \quad i_A^r \quad V_\alpha(t) \quad V_\beta(t) \quad i_\alpha^r(t) \quad i_\beta^r(t)]^T$$

La matrice semi-simple  $S$  est tel que  $\sigma(S) = \{\mathbf{0}_4^T, i\omega, -i\omega, i\omega, -i\omega\} \subset i\mathbb{R}$ .

Est-il possible de satisfaire le cahier des charges défini précédemment avec le convertisseur choisi ?

- ▶ modèle bilinéaire
- ▶ **régulation de sortie**
- ▶ avec des perturbations et des consignes sinusoïdales

$$\dot{x}(t) = Ax(t) + B(x(t))u(t) + Pw(t)$$

$$\dot{w}(t) = Sw(t)$$

$$e(t) = Cx(t) + Qw(t)$$

$$\mathbb{R}^8 \ni w(t) = [V_{DC} \quad v_R^r \quad i_C^r \quad i_A^r \quad V_\alpha(t) \quad V_\beta(t) \quad i_\alpha^r(t) \quad i_\beta^r(t)]^T$$

La matrice semi-simple  $S$  est tel que  $\sigma(S) = \{\mathbf{0}_4^T, i\omega, -i\omega, i\omega, -i\omega\} \subset i\mathbb{R}$ .

Est-il possible de satisfaire le cahier des charges défini précédemment avec le convertisseur choisi ?

- ▶ modèle bilinéaire
- ▶ régulation de sortie
- ▶ avec des perturbations et des consignes sinusoïdales

$$\dot{x}(t) = Ax(t) + B(x(t))u(t) + Pw(t)$$

$$\dot{w}(t) = Sw(t)$$

$$e(t) = Cx(t) + Qw(t)$$

$$\mathbb{R}^8 \ni w(t) = [V_{DC} \quad v_R^r \quad i_C^r \quad i_A^r \quad V_\alpha(t) \quad V_\beta(t) \quad i_\alpha^r(t) \quad i_\beta^r(t)]^T$$

La matrice semi-simple  $S$  est tel que  $\sigma(S) = \{\mathbf{0}_4^T, i\omega, -i\omega, i\omega, -i\omega\} \subset i\mathbb{R}$ .

Est-il possible de satisfaire le cahier des charges défini précédemment avec le convertisseur choisi ?

- ▶ modèle bilinéaire
- ▶ régulation de sortie
- ▶ avec des perturbations et des consignes sinusoïdales

$$\dot{x}(t) = Ax(t) + B(x(t))u(t) + Pw(t)$$

$$\dot{w}(t) = Sw(t)$$

$$e(t) = Cx(t) + Qw(t)$$

$$\mathbb{R}^8 \ni w(t) = [V_{DC} \quad v_R^r \quad i_C^r \quad i_A^r \quad V_\alpha(t) \quad V_\beta(t) \quad i_\alpha^r(t) \quad i_\beta^r(t)]^T$$

La matrice semi-simple  $S$  est tel que  $\sigma(S) = \{\mathbf{0}_4^T, i\omega, -i\omega, i\omega, -i\omega\} \subset i\mathbb{R}$ .

Est-il possible de satisfaire le cahier des charges défini précédemment avec le convertisseur choisi ?

## Le problème

Etant donnée l'architecture du smart node précédent, cette dernière satisfait le cahier des charges si et seulement s'il existe  $\Pi : \mathbb{R}^8 \rightarrow \mathbb{R}^{23}$  et  $\Psi : \mathbb{R}^8 \rightarrow \mathbb{R}^8$ , solution des équations du régulateur non-linéaire :

$$\frac{\partial \Pi(w)}{\partial w} S w = A \Pi(w) + B(\Pi(w)) \Psi(w) + P w \quad (2a)$$

$$C \Pi(w) = -Q w \quad (2b)$$

Les solutions de ces équations donnent lieu aux trajectoires d'entrée et d'état à l'équilibre  $x_e(t) = \Pi(w(t))$  et  $u_e(t) = \Psi(w(t))$ .

Introduction

Modélisation

**Un ensemble de solution au problème**

Conclusion & Perspectives

## Proposition

Pour tout  $\mu, \tau \in \mathbb{R}$ , les applications suivantes sont solutions de (2) :

$$w \mapsto \Pi(w) = \Pi_0 w + N_0 \Gamma(w) + N [\mu \quad \tau]^\top \quad (3a)$$

$$w \mapsto \Psi(w) = \frac{1}{v_R^r} (\Pi_v(w) - L_F \Pi_{i_F} S w) \quad (3b)$$

$$\Pi(w) = [\Pi_{v_R}(w)^\top \quad \Pi_{i_F}(w)^\top \quad \Pi_v(w)^\top \quad \Pi_{i_G}(w)^\top]^\top$$

- ▶ Une partie des états est linéaire en  $w$
- ▶  $\Gamma(w)$  est solution d'un polynôme de degré 2 (bilan de puissance au niveau du condensateur réservoir)
- ▶  $\Gamma(w)$  est constant dans le temps ( $\frac{\partial \Gamma(w)}{\partial w} S w = 0$ )
- ▶ Physiquement,  $\mu$  et  $\tau$  correspondent aux tensions homopolaires de DC et AC du système.

$$w \mapsto \Pi(w) = \Pi_0 w + N_0 \Gamma(w) + N [\mu \quad \tau]^T$$

$$w \mapsto \Psi(w) = \frac{1}{V_R} (\Pi_V(w) - L_F \Pi_{i_F} S w)$$

$$\Pi(w) = \begin{bmatrix} \Pi_{V_R}(w) \\ \Pi_{i_F}(w) \\ \Pi_V(w) \\ \Pi_{i_G}(w) \end{bmatrix}$$

- ▶ Une partie des états est linéaire en  $w$
- ▶  $\Gamma(w)$  est solution d'un polynôme de degré 2 (bilan de puissance au niveau du condensateur réservoir)
- ▶  $\Gamma(w)$  est constant dans le temps ( $\frac{\partial \Gamma(w)}{\partial w} S w = 0$ )
- ▶ Physiquement,  $\mu$  et  $\tau$  correspondent aux tensions homopolaires de DC et AC du système.

$$w \mapsto \Pi(w) = \Pi_0 w + N_0 \Gamma(w) + N [\mu \quad \tau]^T$$

$$w \mapsto \Psi(w) = \frac{1}{V_R^r} (\Pi_V(w) - L_F \Pi_{i_F} S w)$$

$$\Pi(w) = \begin{bmatrix} \Pi_{V_R}(w) \\ \Pi_{i_F}(w) \\ \Pi_V(w) \\ \Pi_{i_G}(w) \end{bmatrix}$$

- ▶ Une partie des états est linéaire en  $w$
- ▶  $\Gamma(w)$  est solution d'un polynôme de degré 2 (bilan de puissance au niveau du condensateur réservoir)
- ▶  $\Gamma(w)$  est constant dans le temps ( $\frac{\partial \Gamma(w)}{\partial w} S w = 0$ )
- ▶ Physiquement,  $\mu$  et  $\tau$  correspondent aux tensions homopolaires de DC et AC du système.

$$w \mapsto \Pi(w) = \Pi_0 w + N_0 \Gamma(w) + N [\mu \quad \tau]^T$$

$$w \mapsto \Psi(w) = \frac{1}{V_R^r} (\Pi_V(w) - L_F \Pi_{i_F} S w)$$

$$\Pi(w) = \begin{bmatrix} \Pi_{V_R}(w) \\ \Pi_{i_F}(w) \\ \Pi_V(w) \\ \Pi_{i_G}(w) \end{bmatrix}$$

- ▶ Une partie des états est linéaire en  $w$
- ▶  $\Gamma(w)$  est solution d'un polynôme de degré 2 (bilan de puissance au niveau du condensateur réservoir)
- ▶  $\Gamma(w)$  est constant dans le temps ( $\frac{\partial \Gamma(w)}{\partial w} S w = 0$ )
- ▶ Physiquement,  $\mu$  et  $\tau$  correspondent aux tensions homopolaires de DC et AC du système.

$$w \mapsto \Pi(w) = \Pi_0 w + N_0 \Gamma(w) + N [\mu \quad \tau]^T$$

$$w \mapsto \Psi(w) = \frac{1}{V_R^r} (\Pi_V(w) - L_F \Pi_{i_F} S w)$$

$$\Pi(w) = \begin{bmatrix} \Pi_{V_R}(w) \\ \Pi_{i_F}(w) \\ \Pi_V(w) \\ \Pi_{i_G}(w) \end{bmatrix}$$

# Simulation

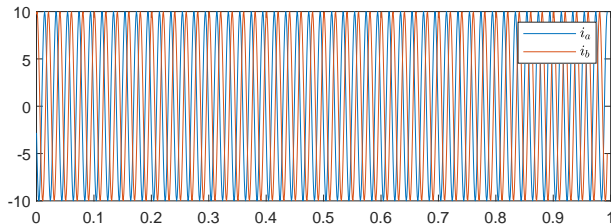
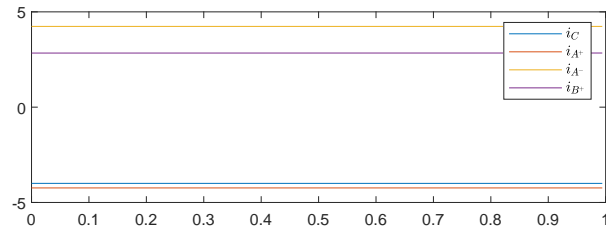


Figure – Les courants dans le réseau à l'équilibre désiré

$$x_e(t) = \begin{bmatrix} v_{R,e}(t) \\ i_{F,e}(t) \\ v_e(t) \\ i_{G,e}(t) \end{bmatrix}$$

$$u_e(t) = \begin{bmatrix} d_C(t) \\ d_{A^+}(t) \\ d_{A^-}(t) \\ d_{B^+}(t) \\ d_{B^-}(t) \\ d_a(t) \\ d_b(t) \\ d_c(t) \end{bmatrix}$$

# Simulation

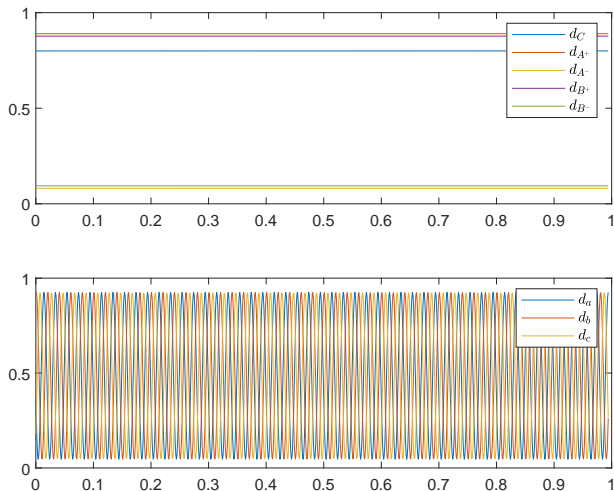


Figure – Les rapports cycliques à l'équilibre désiré

$$x_e(t) = \begin{bmatrix} v_{R,e}(t) \\ i_{F,e}(t) \\ v_e(t) \\ i_{G,e}(t) \end{bmatrix}$$

$$u_e(t) = \begin{bmatrix} d_C(t) \\ d_{A+}(t) \\ d_{A-}(t) \\ d_{B+}(t) \\ d_{B-}(t) \\ d_a(t) \\ d_b(t) \\ d_c(t) \end{bmatrix}$$

Introduction

Modélisation

Un ensemble de solution au problème

**Conclusion & Perspectives**

## Conclusion

A partir du cas d'étude :

- ▶ Modéliser le circuit
- ▶ Formaliser le problème dans le cadre de la régulation de sortie
- ▶ Trouver une solution au problème

Ce qui prouve la pertinence du circuit vis-à-vis des objectifs de commande

## Perspectives

Travaux de thèse : "Eco-conception d'une architecture de réseau mixte AC/DC maillé"

- ▶ synthèse de lois de commande robustes pour le convertisseur ;
- ▶ analyse de cycle de vie et éco-dimensionnement d'un réseau maillé AC/DC.

## Conclusion

A partir du cas d'étude :

- ▶ Modéliser le circuit
- ▶ Formaliser le problème dans le cadre de la régulation de sortie
- ▶ Trouver une solution au problème

Ce qui prouve la pertinence du circuit vis-à-vis des objectifs de commande

## Perspectives

Travaux de thèse : "Eco-conception d'une architecture de réseau mixte AC/DC maillé"

- ▶ synthèse de lois de commande robustes pour le convertisseur ;
- ▶ analyse de cycle de vie et éco-dimensionnement d'un réseau maillé AC/DC.

- [1] Y. Takahashi, K. Natori, and Y. Sato, “A multi-terminal power flow control method for next-generation DC power network,” in *2015 IEEE Energy Conversion Congress and Exposition (ECCE)*, (Montreal, QC, Canada), pp. 6223–6230, IEEE, Sept. 2015.
- [2] H. Morel, L. Michel, G. Clerc, P. Bevilacqua, M. Barara, V. Steinmetz, and B. Peron, “Microréseaux DC : avantages des réseaux maillés,”
- [3] F. Amato, C. Cosentino, and A. Merola, “Stabilization of Bilinear Systems via Linear State Feedback Control,”
- [4] C. J. O’Rourke, M. M. Qasim, M. R. Overlin, and J. L. Kirtley, “A Geometric Interpretation of Reference Frames and Transformations : dq0, Clarke, and Park,” *IEEE Transactions on Energy Conversion*, vol. 34, pp. 2070–2083, Dec. 2019.
- [5] J. Huang, *Nonlinear Output Regulation : Theory and Application*. 2004.

# Remerciements



lukas.cafran@insa-lyon.fr

